

LANCE

Servicio Clima Espacial

Reporte Semanal



CENAPRED
CENTRO NACIONAL DE
PREVENCIÓN DE DESASTRES

AEM AGENCIA
ESPACIAL
MEXICANA

CONDICIONES DEL SOL

Regiones activas: 0

Hoyos coronales: Se registraron al menos 8 hoyos coronales, entre los que destacan uno de mayor extensión cerca del disco solar y dos más sobre los polos.

Eyecciones de masa coronal: 0

El Sol no ha mostrado actividad significativa.

CONDICIONES DEL MEDIO INTERPLANETARIO

Se registró una región de interacción debida a viento solar rápido.

CONDICIONES DE MAGNETÓSFERA

Índice K: Se registró una alteración geomagnética ($K_p=4$) el 18 y 19 de diciembre provocada al impacto de una corriente de viento solar rápido con componente Bz sur alternante. En el índice regional Kmex, la perturbación alcanzó el nivel G1 ($K=5$) el día 18.

Índice Dst: Se registró una alteración geomagnética débil debida a la llegada de una corriente de viento solar rápido con componente Bz alternante entre el 18 y 19 de diciembre.

CONDICIONES DE LA IONOSFERA

No se registraron perturbaciones ionosféricas.

Reporte semanal: pronóstico del 20 al 26 de diciembre

LANCÉ

Servicio Clima Espacial

PRONÓSTICOS

Viento solar:

- Se pronostican corrientes de viento solar promedio con velocidades entre 400 y 550 km/s. No se pronostica la llegada de alguna EMC.

Fulguraciones solares:

- Es poco probable que se presenten fulguraciones para los siguientes días.

Tormentas ionosféricas:

- Es poco probable que se presenten perturbaciones ionosféricas los siguientes días.

Tormentas geomagnéticas:

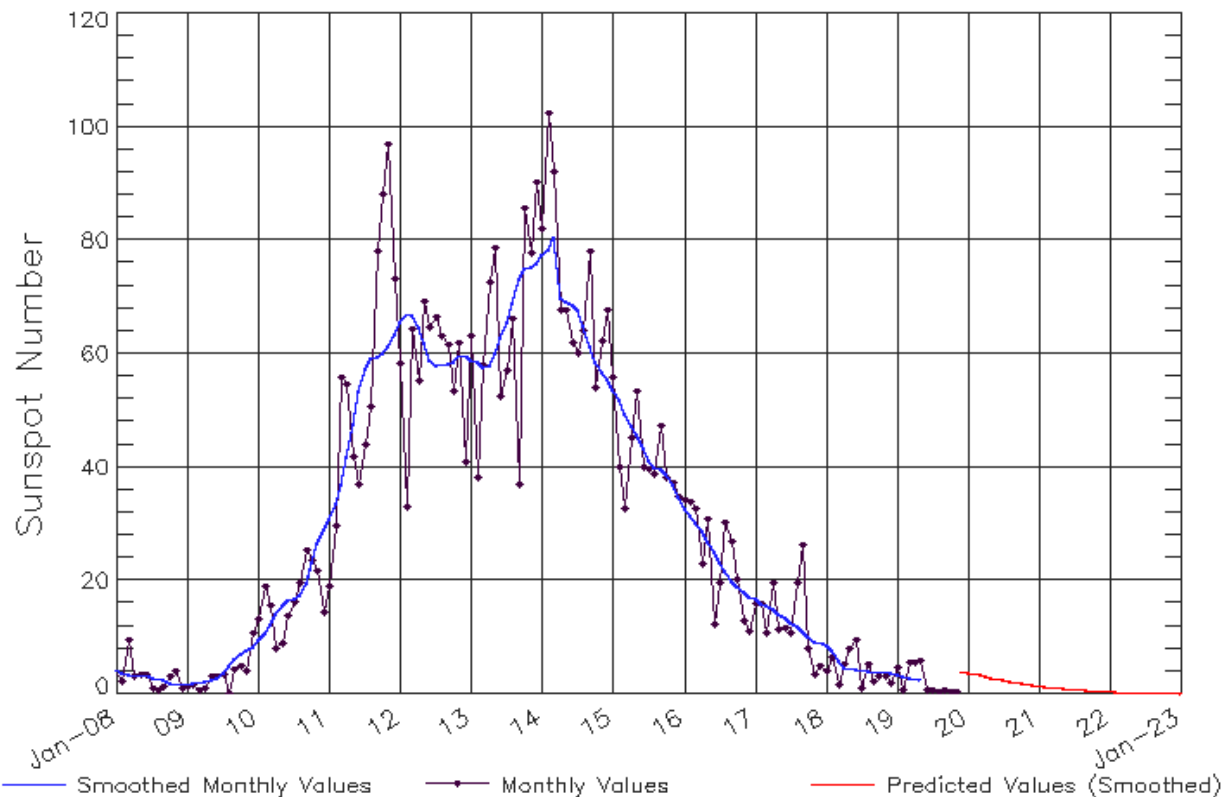
- Podrían registrarse alteraciones menores en los próximos días debida a la presencia del hoyo coronal sobre el disco solar.

Tormentas de radiación solar:

- Debido a la poca actividad, no se esperan eventos significativos durante la próxima semana.

Ciclo de manchas solares y la actividad solar

ISES Solar Cycle Sunspot Number Progression
Observed data through Nov 2019



Updated 2019 Dec 9

NOAA/SWPC Boulder, CO USA

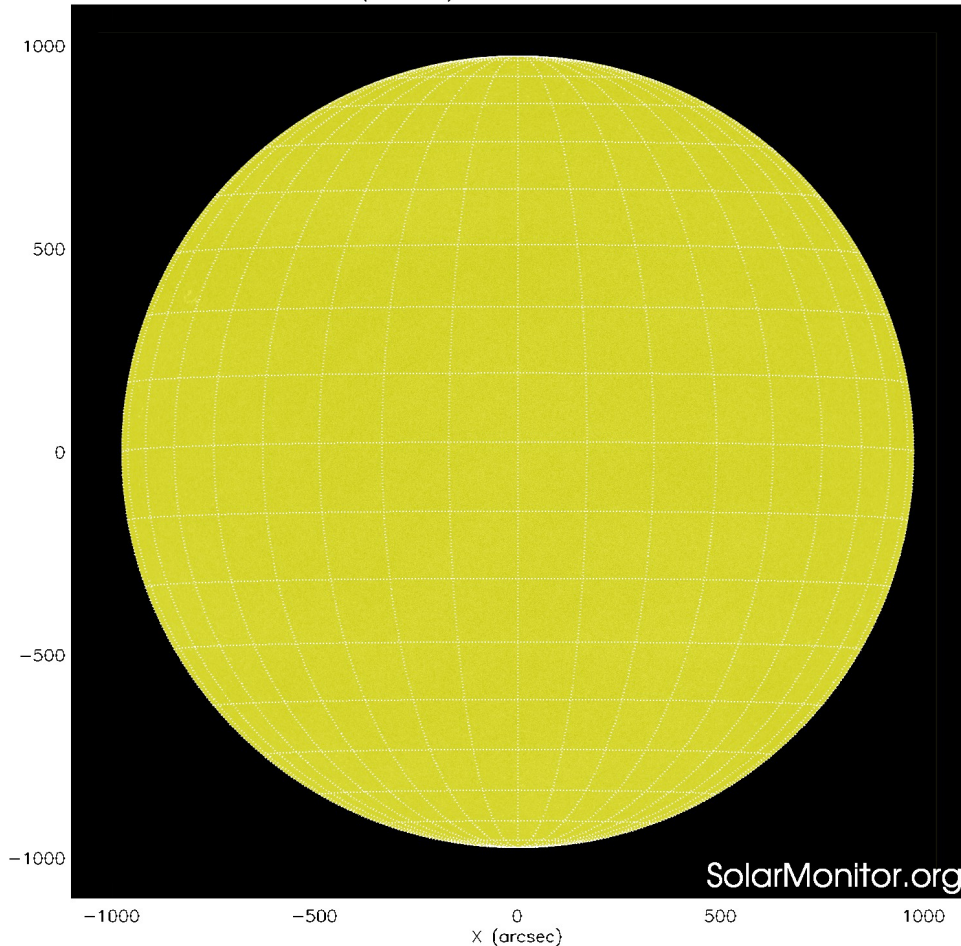
<http://www.swpc.noaa.gov/products/solar-cycle-progression>

La figura muestra el conteo del número de manchas solares desde enero del 2008.

Entre más manchas solares presente el Sol, es mayor la posibilidad de que ocurra una tormenta solar.

Estamos en el mínimo de manchas solares del ciclo 24.

SDO HMI (6173 Å) 19-Dec-2019 13:34:30.000



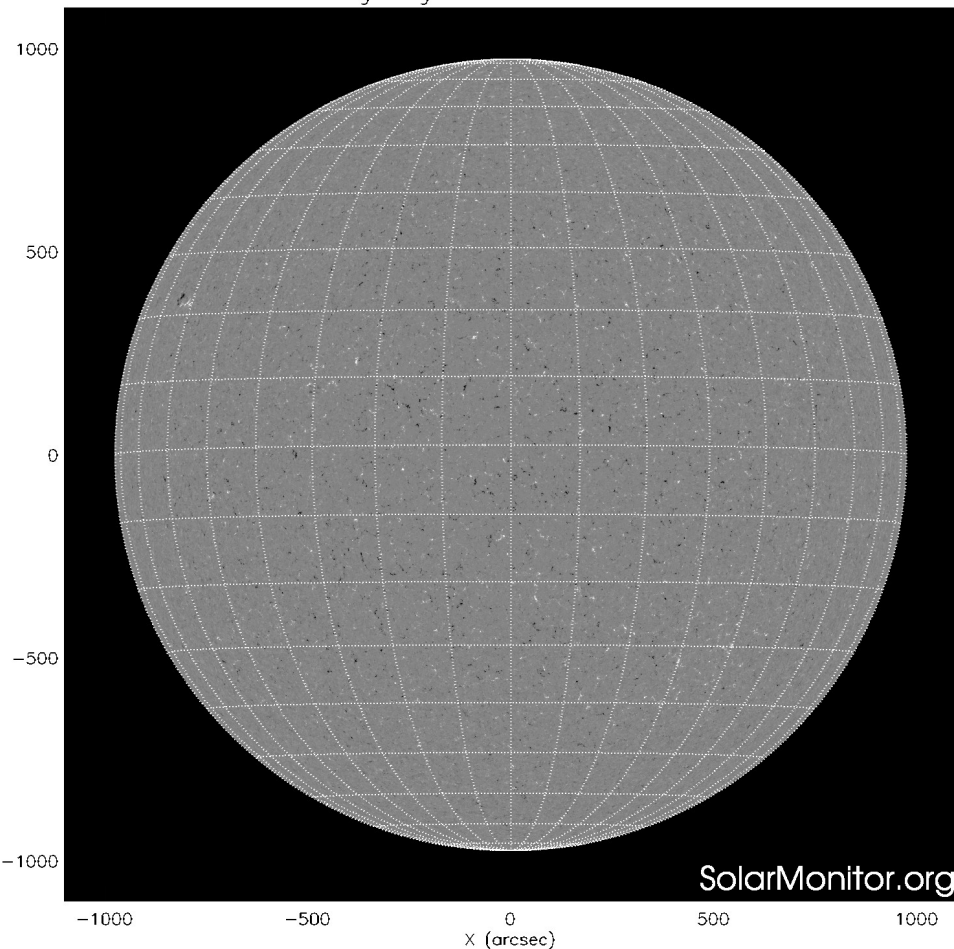
La fotosfera es la zona “superficial” del Sol, donde aparecen las manchas solares. Regiones oscuras formadas por material más frío que sus alrededores y que contienen intensos campos magnéticos. Las manchas solares están relacionadas con la actividad solar.

El Sol hoy:

La imagen más reciente de la fotosfera, tomada por el satélite artificial SDO, no muestra manchas solares.

<http://solarmonitor.org>

SDO HMI Magnetogram 19-Dec-2019 13:34:30.000



Un magnetograma solar permite identificar las regiones de intensos campos magnéticos solares. En general, estos campos magnéticos están asociados a manchas solares.

Las regiones de color blanco (negro) son zonas por donde salen (entran) líneas de campo magnético, correspondientes a polaridad positiva (negativa).

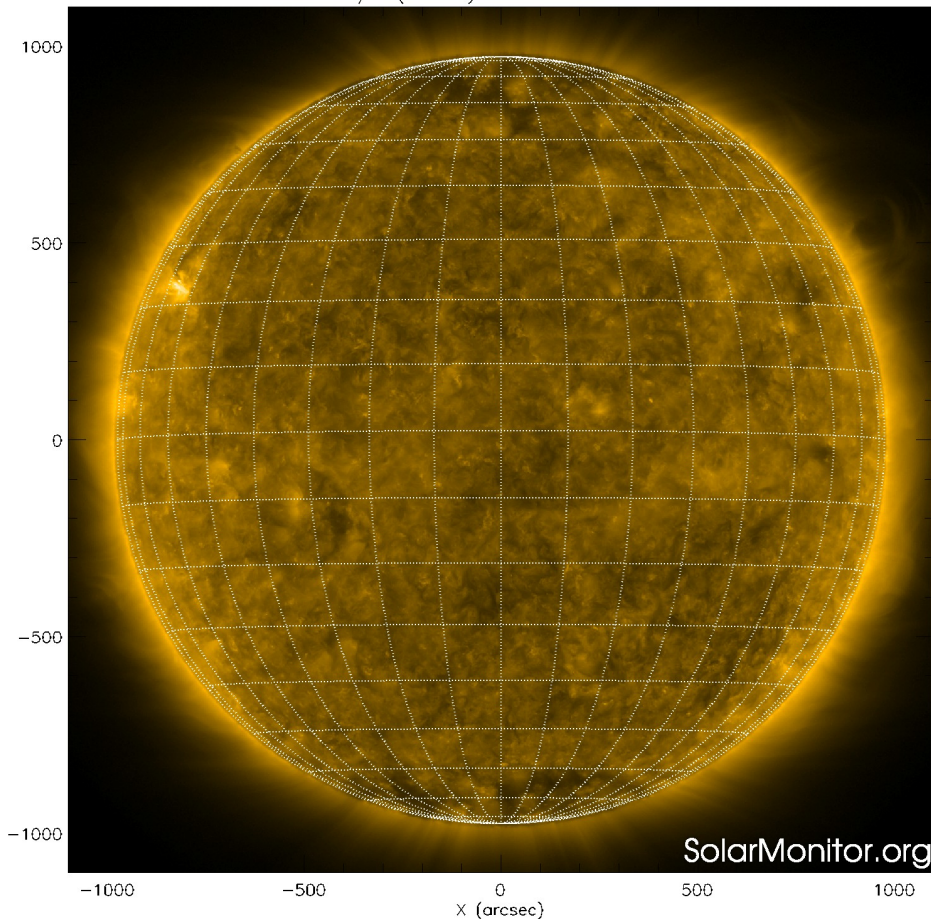
El Sol hoy:

El magnetograma no muestra regiones con campos magnético intensos.

<http://solarmonitor.org>

Atmósfera solar y regiones activas

SDO AIA Fe IX/X (171 Å) 19-Dec-2019 14:24:33.340



El Sol en rayos X suaves (171 Å). La emisión de Fe IX y X revela la estructura magnética en la región de la atmósfera solar llamada corona solar que se encuentra a 630,000 K.

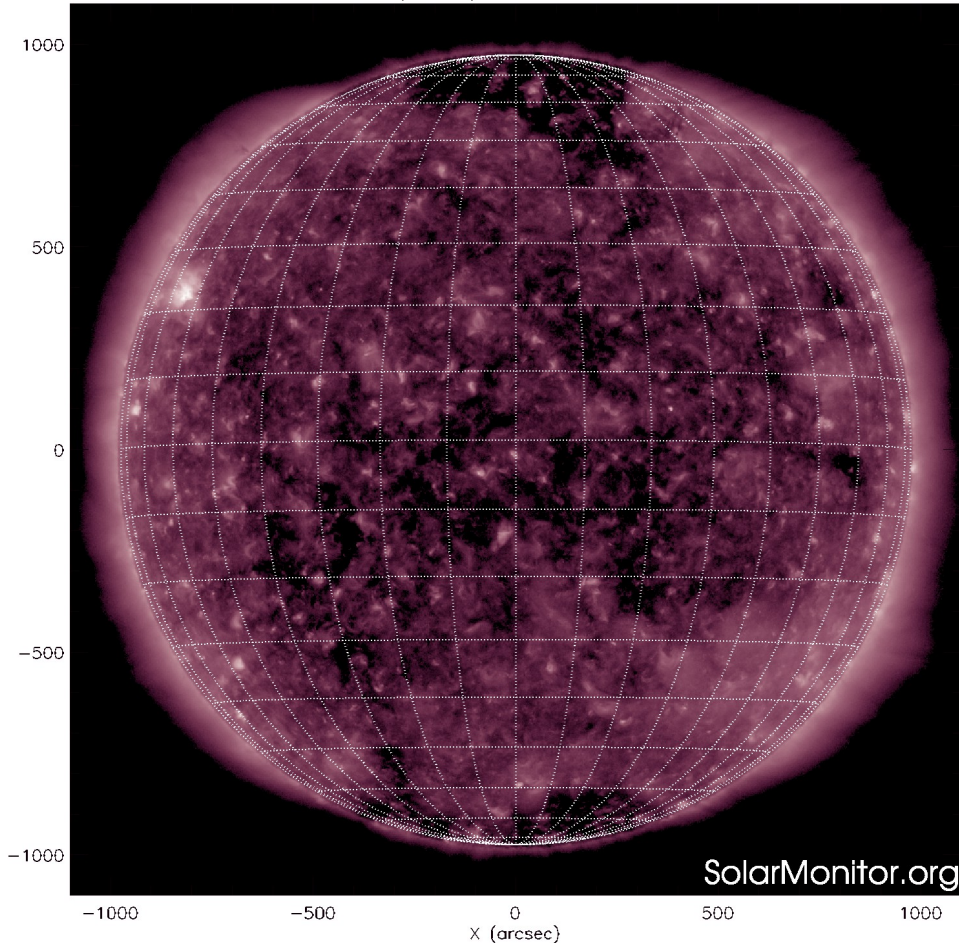
Las regiones activas (zonas claras) son los lugares donde se presentan los fenómenos de actividad solar más importantes. Las regiones activas están regularmente asociadas a las manchas solares.

El Sol hoy:

Imagen más reciente tomada por el satélite artificial SDO, no se observan regiones activas en el disco solar.

<http://solarmonitor.org>

SDO AIA Fe XII (211 Å) 19-Dec-2019 14:24:57.630



El Sol en rayos X suaves (211 Å). La emisión de Fe XIV revela la estructura magnética en la alta corona que se encuentra a 2,000,000 K.

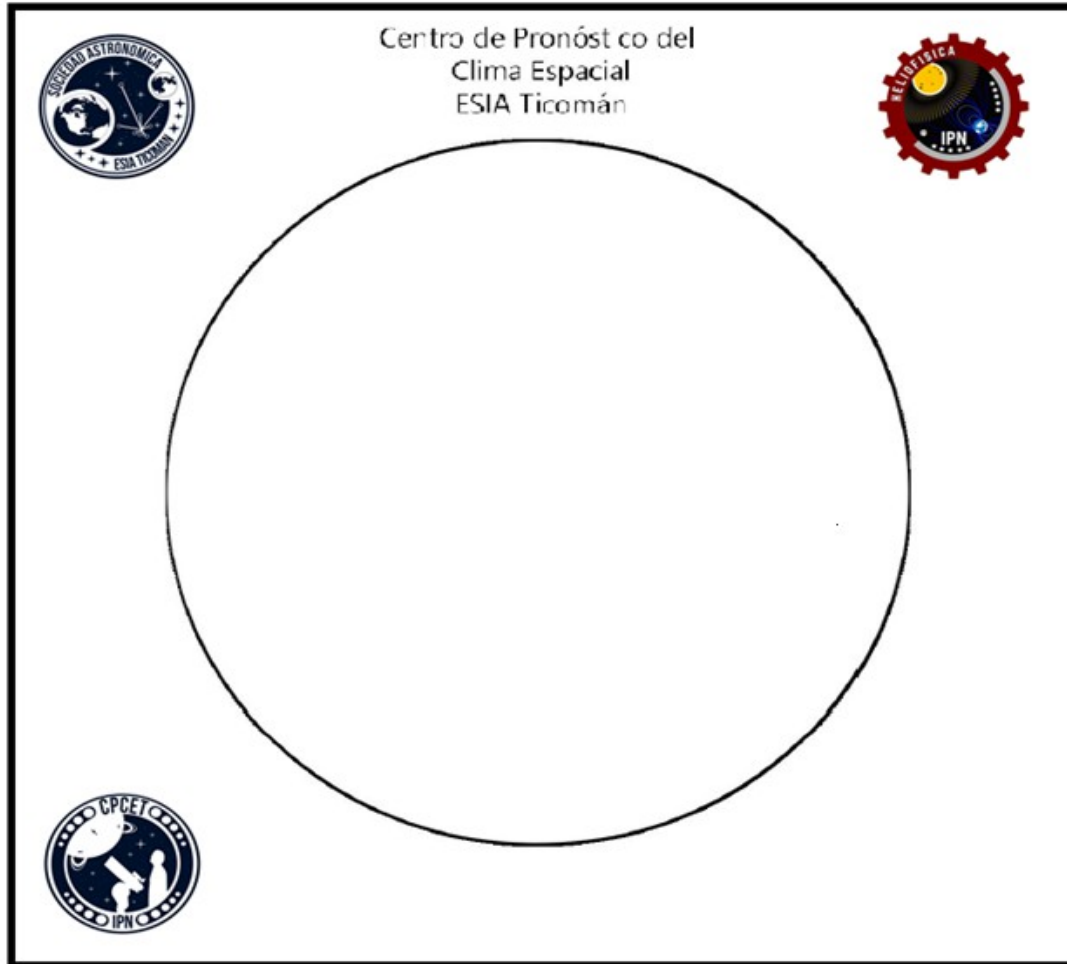
Los hoyos coronales (regiones oscuras) son regiones de campo magnético solar localmente abierto. Los hoyos coronales son fuente de las corrientes de viento solar rápido.

El Sol hoy:

Se observan hoyos coronales mayormente sobre el disco solar y en los polos.

<http://solarmonitor.org>

Manchas solares: Número de Wolf



El número de Wolf es un valor que permite evaluar numéricamente la actividad solar mediante el conteo de manchas solares ubicadas sobre la superficie del Sol. Este se calcula a partir de 1849:

El número de Wolf hoy:

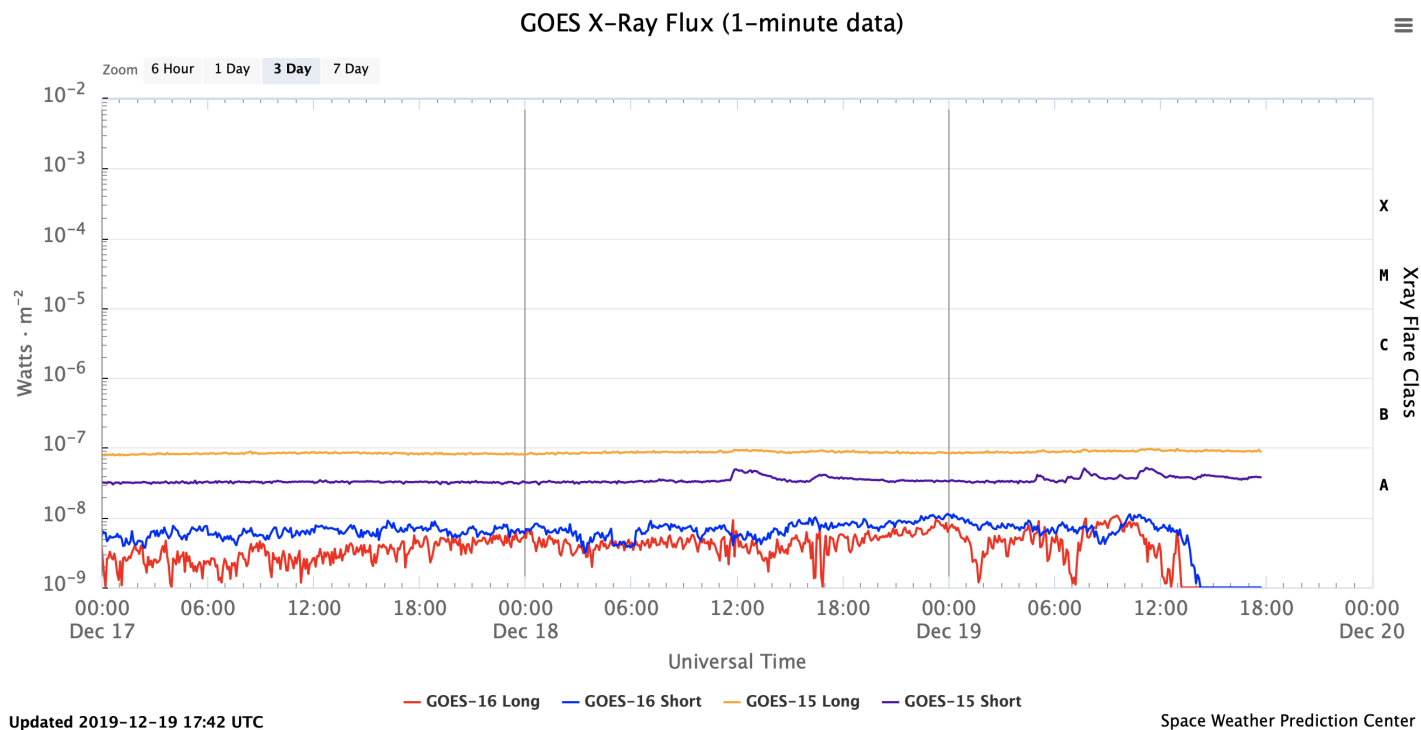
Número de Wolf promedio esta semana: **0**

Actividad solar: **BAJA**

Actividad solar: Fulguraciones solares

Flujo de rayos X solares detectado por los satélites GOES.

No se detectaron fulguraciones solares en la semana.



Imágenes: <http://services.swpc.noaa.gov/images/goes-xray-flux.gif>

Eyecciones de Masa Coronal (EMCs): *observación de coronógrafos*

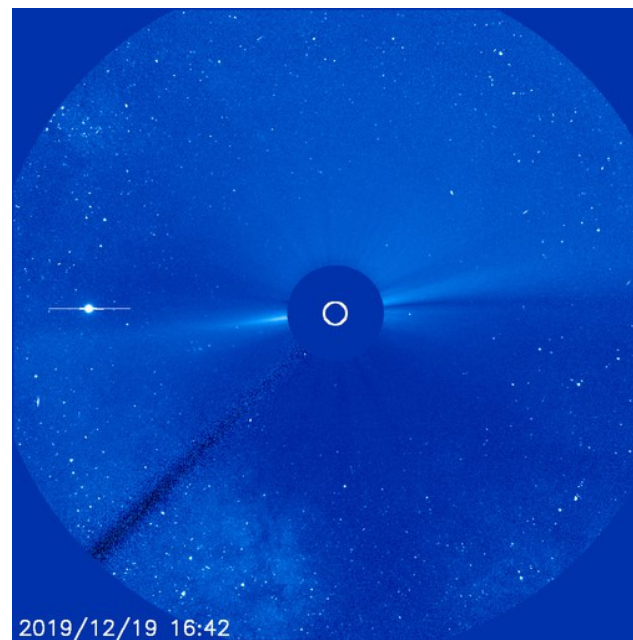
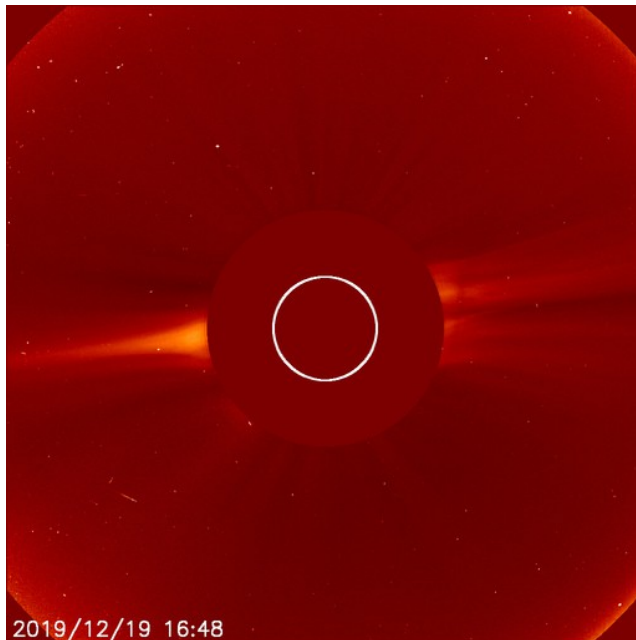
Periodo sin EMC observadas por SOHO/LASCO

- >> No hay evidencia de expulsión de material coronal de gran escala.
- >> No se observan deflexiones de los “*streamers*” solares que indiquen el paso de una EMC.

Relevancia

*Eventos eruptivos solares de gran escala que eyectan plasma y campo magnético hacia el medio interplanetario (IP).

*Las EMC están relacionadas con las tormentas geomagnéticas de mayor intensidad y son capaces de impulsar ondas de choque que aceleran partículas en el medio IP.



Crédito imágenes y valores estimados:

SOHO, the Solar & Heliospheric Observatory SDO, Solar Dynamic Observatory CACTus CME catalog. SIDC at the Royal Observatory of Belgium Jhelioviewer, ESA/NASA Helioviewer Project SolarMonitor.org

Medio interplanetario: El viento solar cercano a la Tierra

Modelo numérico WSA-ENLIL.

El modelo pronostica un ambiente solar terrestre dominado por corrientes de viento solar promedio con velocidades entre 400-550 km/s. La densidad no presentará incrementos significativo. No pronostica la llegada de alguna EMC para los próximos días.

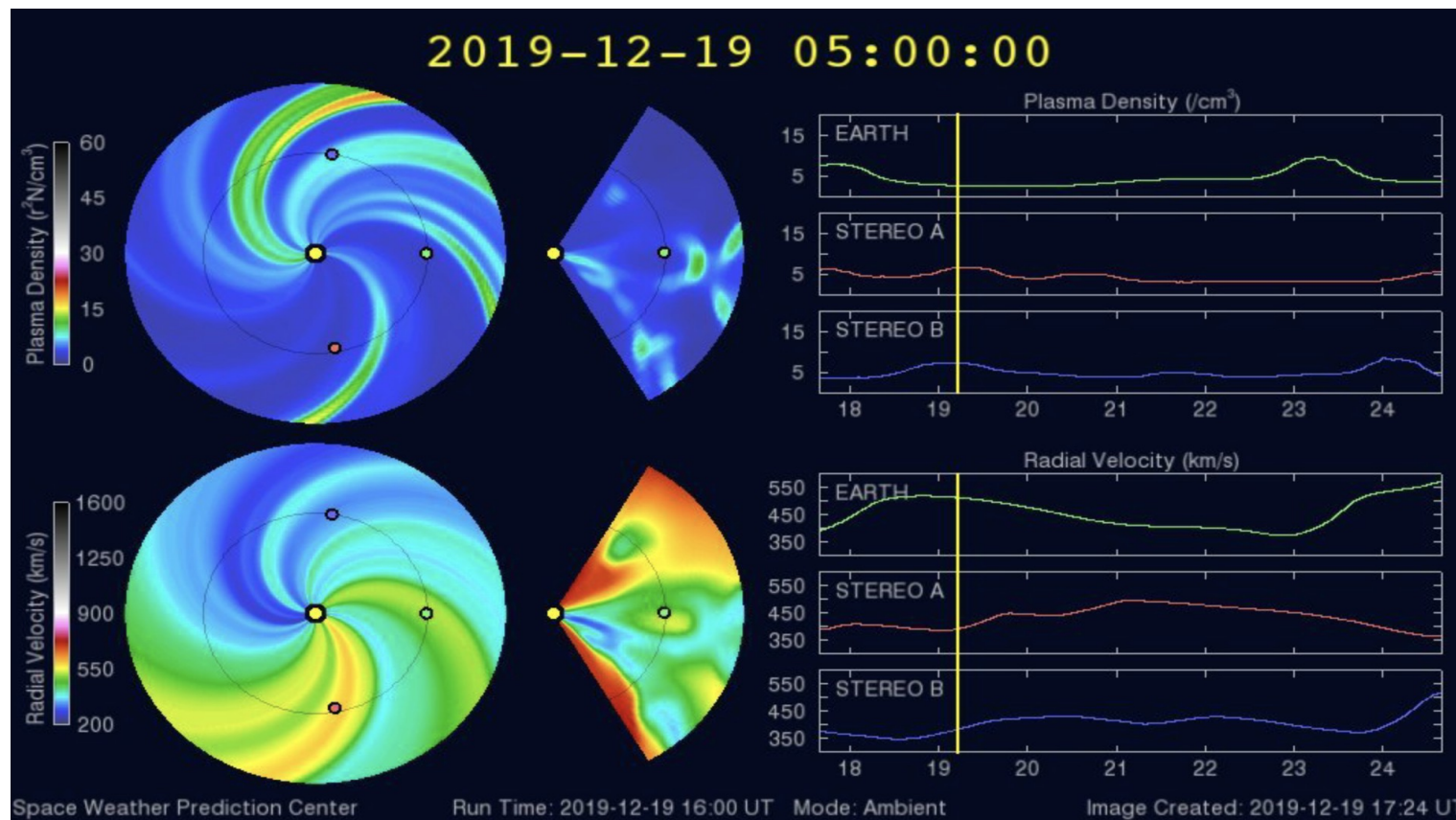
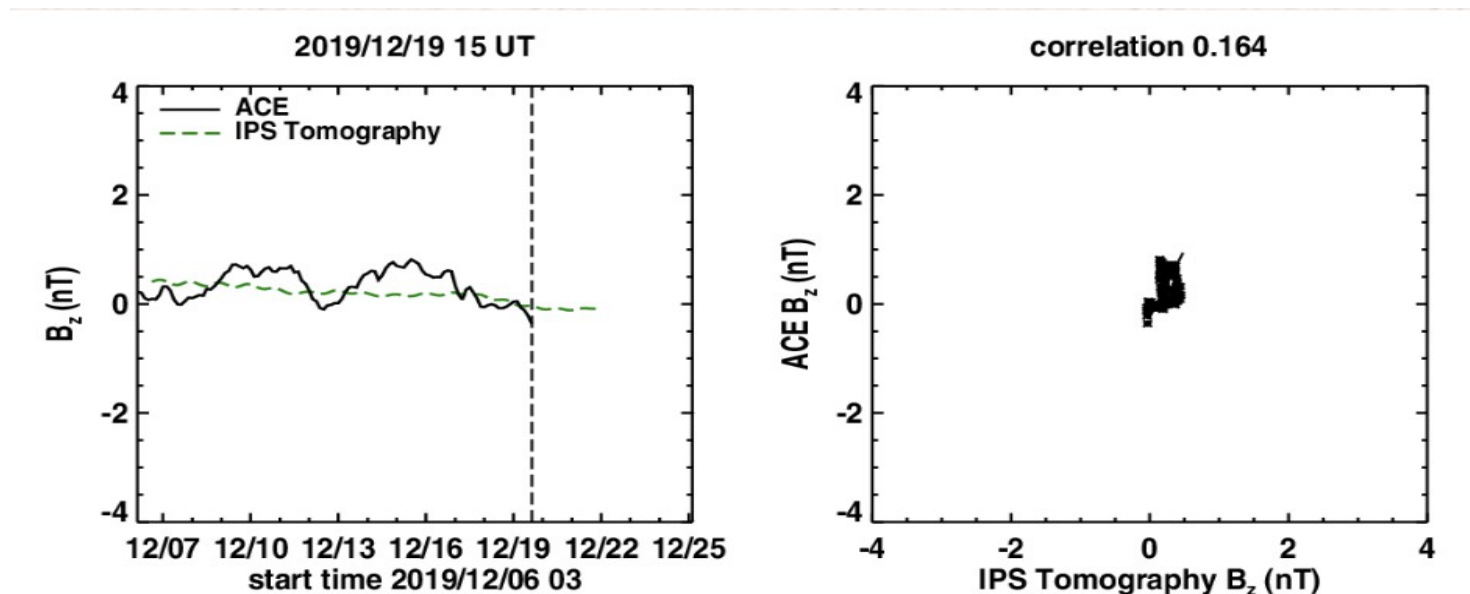


Imagen: <http://www.swpc.noaa.gov/products/wsa-enlil-solar-wind-prediction>

Medio interplanetario: El viento solar cercano a la Tierra

Pronóstico de la componente B_z del viento solar cercano a la Tierra usando la tomografía con datos IPS.



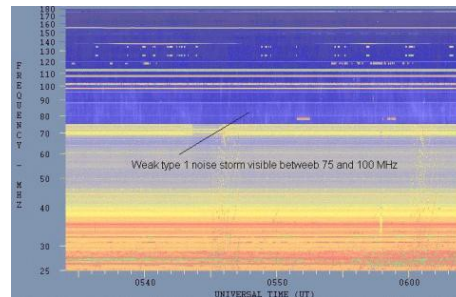
(Izquierda) Se pronostica una componente B_z negativa tendiendo a cero. **(Derecha)** La comparación con las observaciones del Advanced Composition Explorer (ACE) indican una correlación del 0.164 en el último pronóstico.

Imagen: http://ips.ucsd.edu/high_resolution_predictions

Tipos de estallidos de radio solares

Tipo I: Estallidos cortos y banda de emisión estrecha. Ocurren en un gran número sobre un continuo de emisión. Duración de 1 s y en tormenta de horas a días.

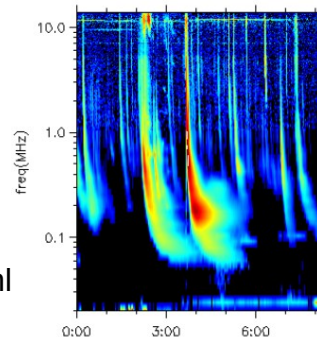
Se asocian con regiones activas, fulguraciones y protuberancias eruptivas



spaceacademy.net.au/env/sol/solradp/solradp.htm

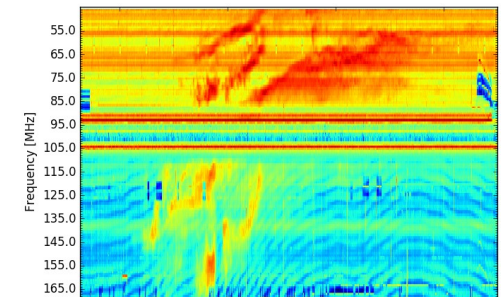
Tipo III: Estallidos de deriva rápida, con duración de pocos segundos en el rango métrico. Tienen anchos de emisión amplios. Son producidos en fulguraciones donde son expulsados a velocidades relativistas.

Se pueden presentar también como tormentas de estallidos.



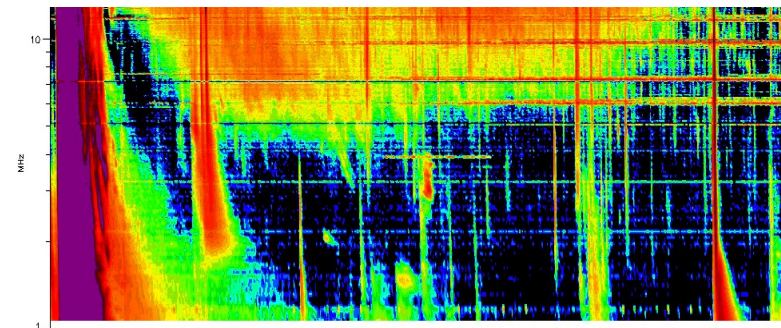
ssed.gsfc.nasa.gov/waves/data_products.html

Tipo II: Estallidos de deriva lenta. Son la firma de ondas de choque, producidas por fulguraciones o EMCs, que se propagan cerca del Sol y medio interplanetario. Presentan anchos de de emisión estrechos que derivan a frecuencias menores.



www.rice.unam.mx/callisto

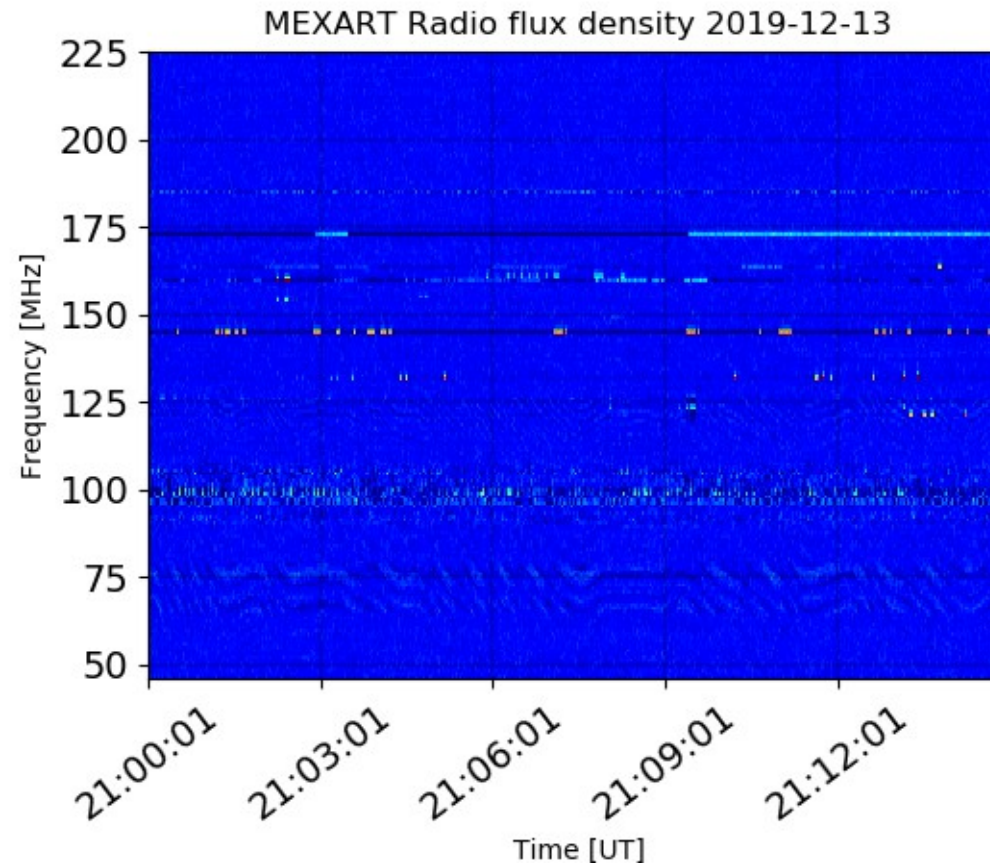
Tipo IV: Se relacionan con fulguraciones, tienen anchos de banda amplios y pueden durar horas.



https://ssed.gsfc.nasa.gov/waves/data_products.html

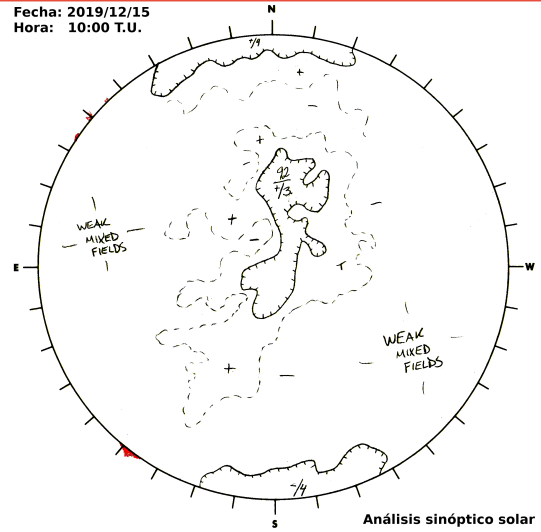
Estallidos de radio solares: Observaciones de Callisto-MEXART

Callisto-MEXART no detectó eventos esta semana.



<http://www.rice.unam.mx/callisto/lightcurve/2019/12/>

Medio interplanetario: Región de interacción de viento solar



Del 13 al 19 de diciembre se registró una región de interacción (área sombreada en imagen 3). La línea vertical gris indica el cruce de la interfase de corriente. El origen del viento solar rápido es un hoyo coronal de polaridad positiva localizado en latitudes bajas (ver imagen 1). Dicha región generó una tormenta geomagnética tipo menor en forma local (Kmex=5). En la imagen 2 (área sombreada en amarillo) vemos la descendencia y luego la ascendencia de la hoja de corriente sobre el plano de la eclíptica.

Imagen 1: ftp://ftp.swpc.noaa.gov/pub/synoptic_maps/

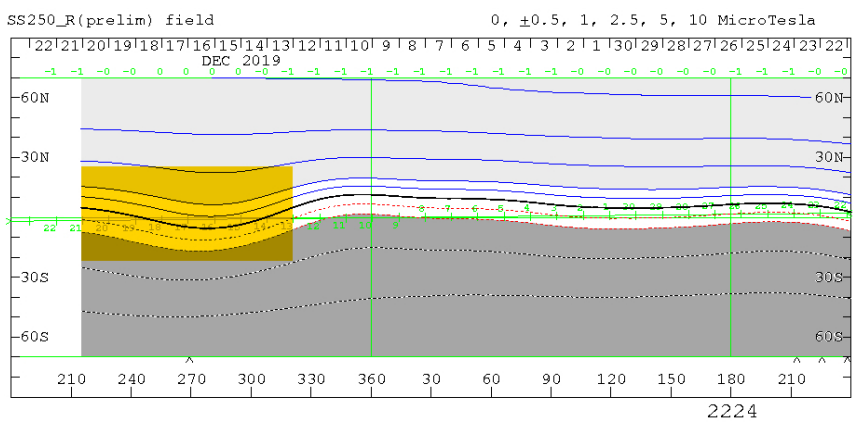


Imagen 2: <http://wso.stanford.edu/SYNOP/>

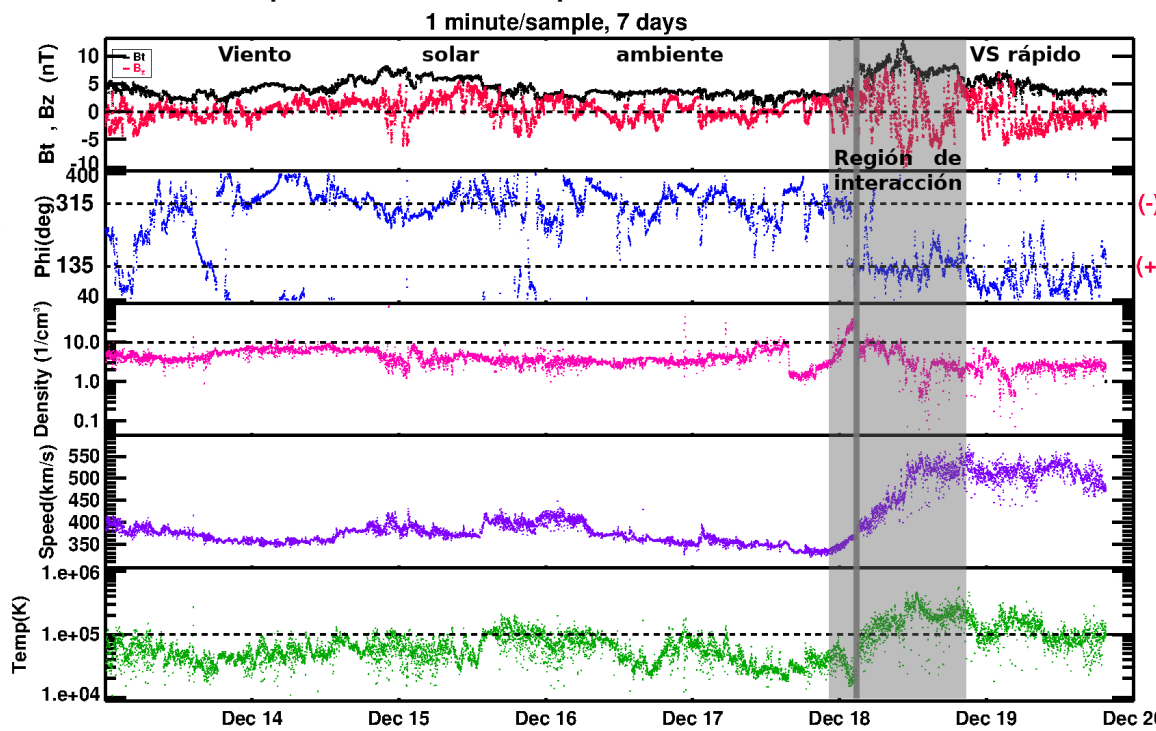


Imagen 3: <http://www.swpc.noaa.gov/products/real-time-solar-wind>

Ionósfera sobre México: TEC en el centro del país (datos locales)

El contenido total de electrones (TEC) es un parámetro que sirve para caracterizar el estado de la ionosfera de la Tierra.

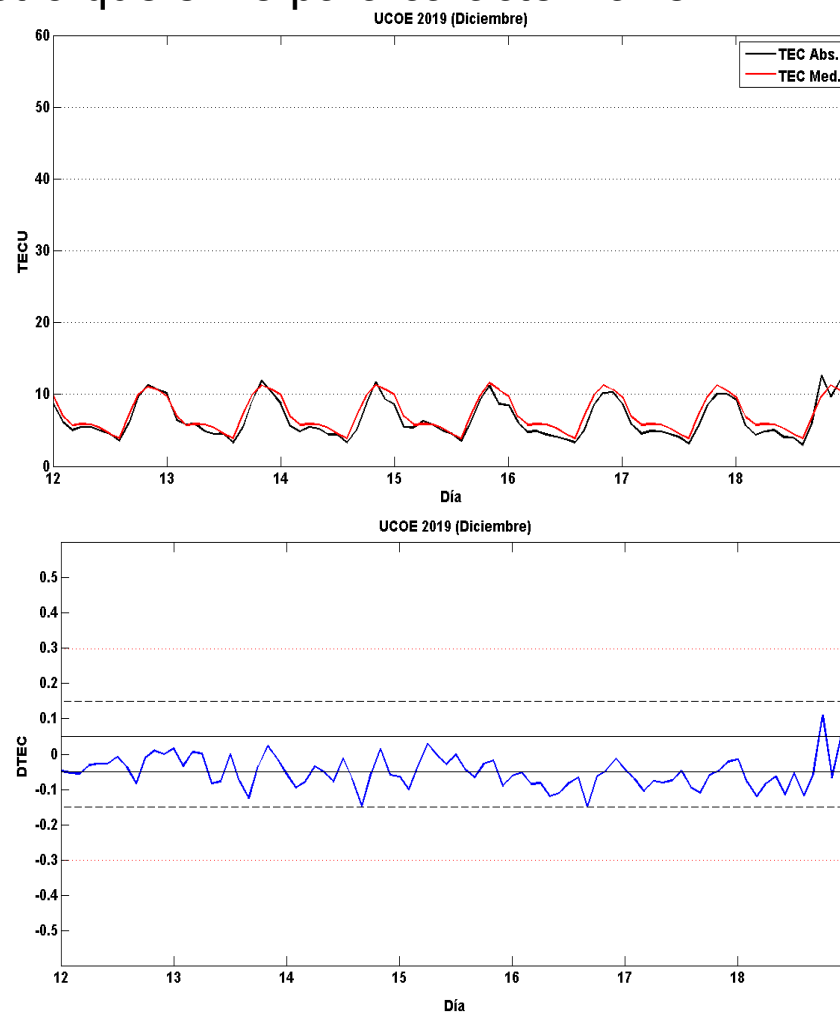
Serie temporal de los valores de TEC (negro) con referencia a su valor mediano (rojo) durante 12.12-18.12.2019 con base en los datos de la estación local UCOE (TLALOCNet, UNAVCO) en las instalaciones del Mexart.

Desviación de TEC de su mediana de los 27 días anteriores al día de observación con base en los datos de la misma estación.

Según los datos locales, no se observaron variaciones significativas de TEC esta semana.

El cálculo se realiza en base de TayAbsTEC software del Instituto de Física Solar-Terrestre, Sección Siberiana de la Academia de Ciencias de Rusia. Referencia: Yasyukevich et al., Influence of GPS/GLONASS Differential Code Biases on the Determination Accuracy of the Absolute Total Electron Content in the Ionosphere, Geomagn. and Aeron., ISSN 0016_7932, 2015.

Referencia: Gulyaeva et al., GIM-TEC adaptive ionospheric weather assessment and forecast system. doi:10.1016/j.jastp.2013.06.011, 2013.

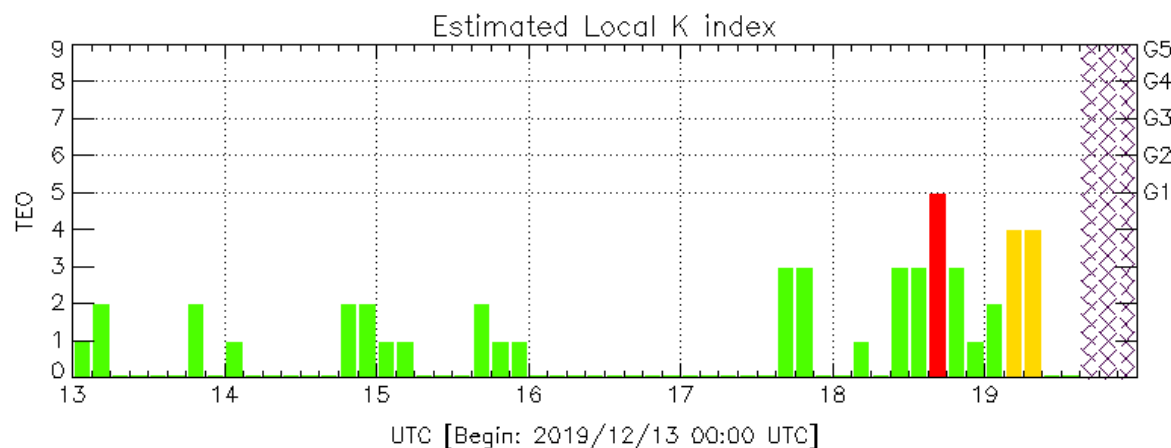


Perturbaciones geomagnéticas: Índices geomagnéticos Kp y Kmex

Imagen: <http://services.swpc.noaa.gov/images/planetary-k-index.gif>

Se registró una alteración geomagnética (Kp=4, barras amarillas) el 18 y 19 de diciembre provocada al impacto de una corriente de viento solar rápido con componente Bz sur alternante.

En el índice regional Kmex, la perturbación alcanzó el nivel G1 (K=5) el día 18.

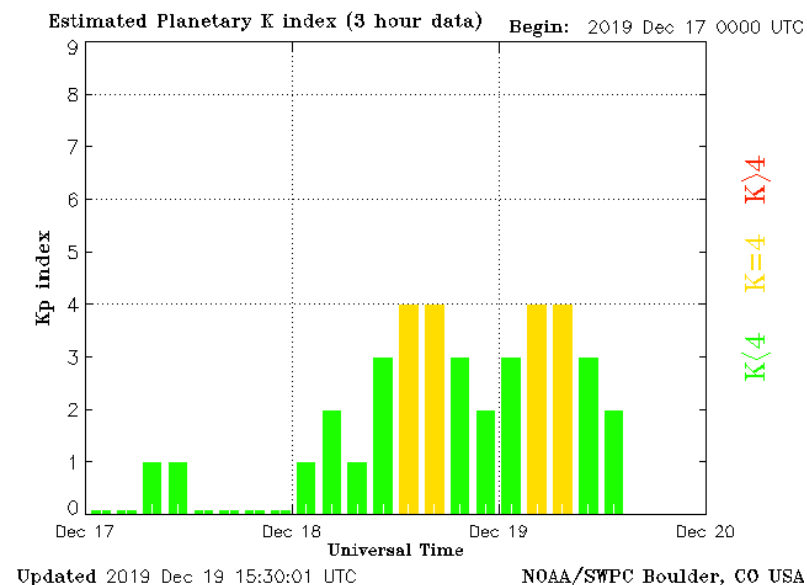


Color Code: ■ quiet, ■ disturbed, ■ storm, XXXX data not available.

TEO: Teoloyucan Geomagnetic Observatory (LAT 19.746, LON -99.193)

LANC/SCIESMEX - Morelia, Mich., MX

Updated: 2019/12/19-15:00 UTC



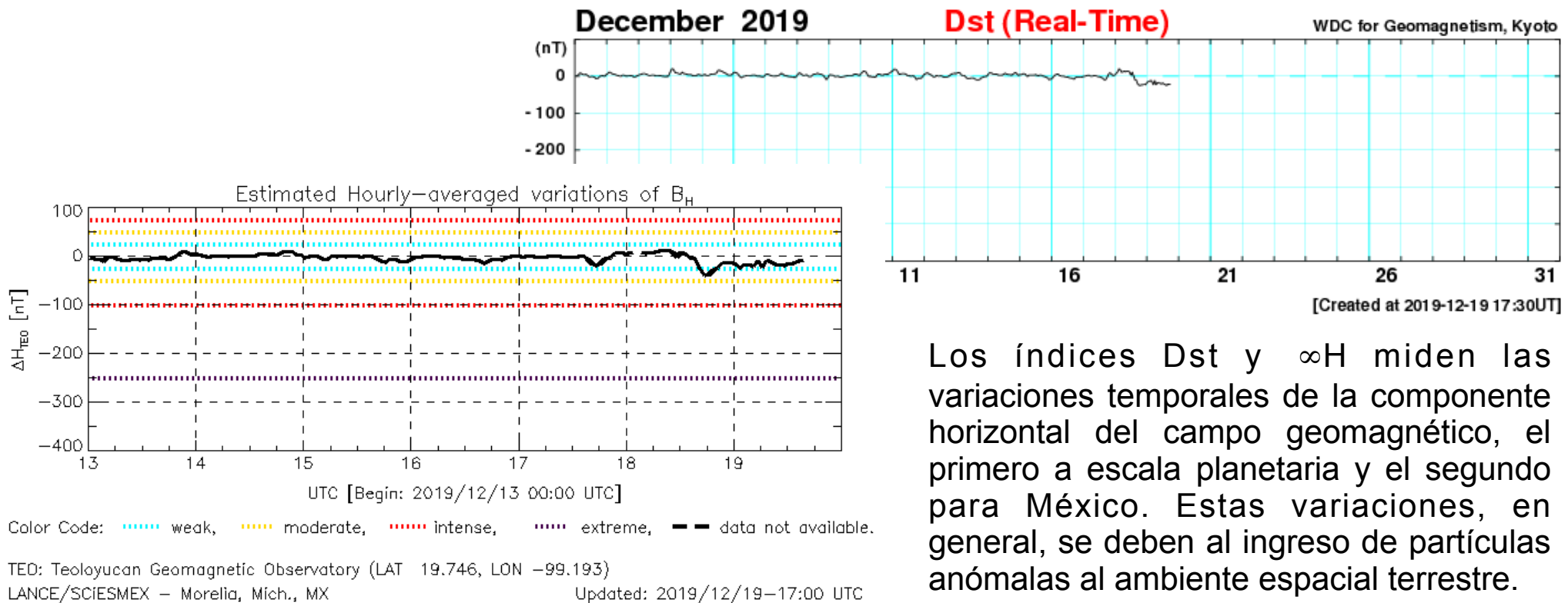
El índice K indica la intensidad de las variaciones del campo magnético terrestre en intervalos de 3 horas. El índice Kp lo expresa a escala planetaria, mientras que el Kmex lo hace para el territorio mexicano.

Perturbaciones geomagnéticas: Índice Dst y ∞H

Se registró una alteración geomagnética débil en los índices Dst y ∞H debida a la llegada de una corriente de viento solar rápido con componente Bz alternante entre el 18 y 19 de diciembre.

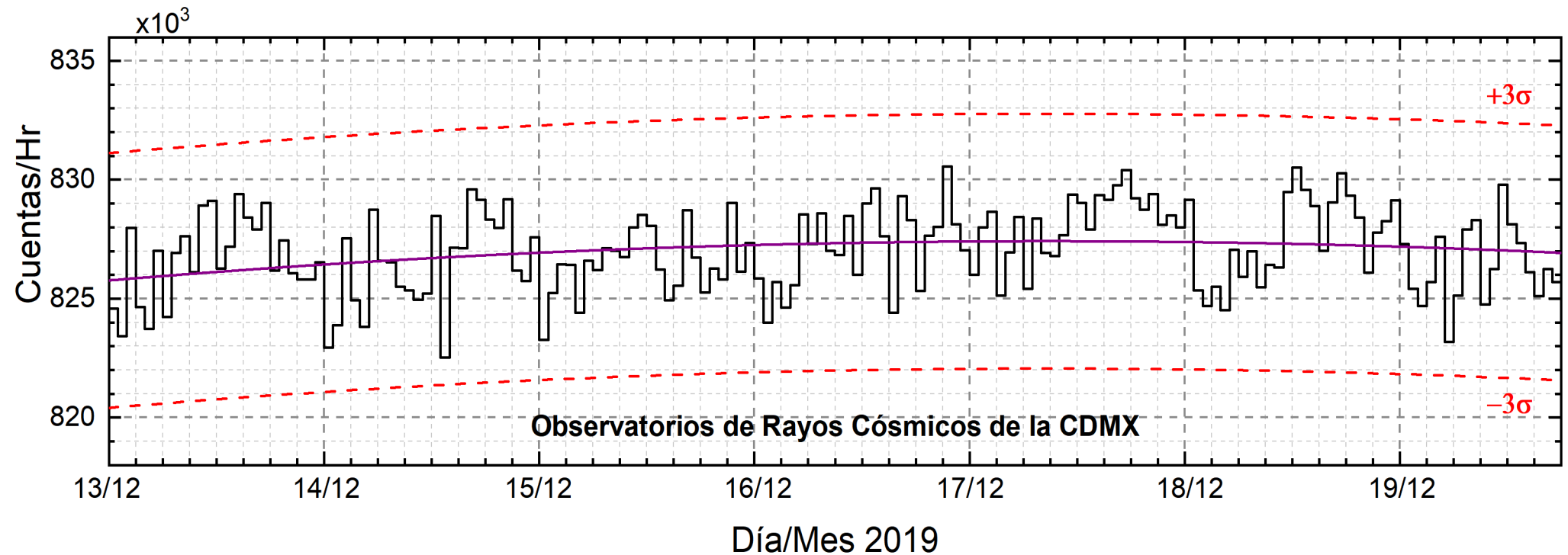
La alteración está en etapa de recuperación para el momento de la redacción de este reporte.

Imagen: http://wdc.kugi.kyoto-u.ac.jp/dst_realtime/presentmonth/index.html



Los índices Dst y ∞H miden las variaciones temporales de la componente horizontal del campo geomagnético, el primero a escala planetaria y el segundo para México. Estas variaciones, en general, se deben al ingreso de partículas anómalas al ambiente espacial terrestre.

Rayos Cósmicos:



<http://www.cosmicrays.unam.mx/>

Datos del Observatorio de Rayos Cósmicos de la Ciudad de México. La curva púrpura representa el promedio de los datos registrados, las líneas discontinuas rojas representan la significación de los datos (3σ). Cuando se registran variaciones mayores a 3σ , es probable que éstas sean debidas a efectos de emisiones solares en el flujo de rayos cósmicos.

Del 13 al 19 de diciembre de 2019, no se detectaron incrementos significativos ($>3\sigma$) en las cuentas de rayos cósmicos.

UNAM/LANCE/SCIEMEX

Dr. J. Américo González Esparza

Dr. Pedro Corona Romero

Dra. Maria Sergeeva

Dr. Julio C. Mejía Ambriz

Dr. Luis Xavier González Méndez

Dr. José Juan González-Avilés

Ing. Ernesto Andrade Mascote

M.C. Pablo Villanueva Hernández

Ing. Adán Espinosa Jiménez

Dr. Ernesto Aguilar-Rodríguez

Dra. Verónica Ontiveros

Dra. Tania Oyuki Chang Martínez

Ing. Juan José D'Aquino

M.C. Enrique Cruz Martínez

UNAM ENES-Morelia

Dr. Mario Rodríguez Martínez

Dr. Víctor De la Luz Rodríguez

Lic. Aranza Fernández Álvarez del Castillo

UNAM/PCT

Lic. Elizandro Huipe Domratheva

M.C. Francisco Tapia

M.C. Víctor Hugo Méndez Bedolla

M.C. Elsa Sánchez García

UANL/LANCE

Dr. Eduardo Pérez Tijerina

Dr. Enrique Pérez León

Dr. Carlos de Meneses Junior

Dra. Esmeralda Romero Hernández

UNAM/IGF/RAYOS CÓSMICOS

Dr. José Francisco Valdés Galicia

Fis. Alejandro Hurtado Pizano

Ing. Octavio Musalem Clemente

SERVICIO MAGNÉTICO

M.C. Esteban Hernández Quintero

M.C. Gerardo Cifuentes Nava

Dra. Ana Caccavari Garza

CPCET/SAET-IPN

Ing. Julio C. Villagrán Orihuela

Ing. Reynaldo Vite Sánchez

Alain Mirón Velázquez

Ángel A. Valdovinos Córdoba

Mariana Y. Ortiz Hernández

Valeria García Miguel

Pablo Romero Minchaca

Elaboración: José Juan González-Avilés

Revisión: Ernesto Aguilar-Rodríguez

Agradecimientos

El Laboratorio Nacional de Clima Espacial (LANCE) es parcialmente financiado por: el programa Cátedras CONACYT Proyecto 1045 y el Fondo Sectorial AEM-CONACYT proyecto 2014-01-247722. Agradecemos al proyecto Conacyt - Repositorio Institucional de Clima Espacial 268273. Agradecemos a todos los responsables y colaboradores de instrumentos del LANCE y a las redes de estaciones GPS del Servicio Sismológico Nacional y TalocNET por facilitar sus datos. Agradecemos a Gerardo Cifuentes, Esteban Hernández y Ana Caccavari por los datos del Observatorio magnético de Teoloyucan. De igual forma, agradecemos los servicios de IGS (International GNSS Service) por permitirnos usar los datos IONEX disponibles en: <ftp://cddis.gsfc.nasa.gov/pub/gps/products/ionex>. Los valores de TEC fueron obtenidos a partir de observaciones de las redes GPS del Servicio Sismológico Nacional (SSN), SSN-TLALOCNet y TLALOCNet del Servicio de Geodesia Satelital (SGS). Agradecemos al personal del SSN y del SGS por el mantenimiento de estaciones, la adquisición de datos y el soporte de IT de estas redes. Las operaciones de la red TLALOCNet y SSN-TLALOCNet GPS han sido apoyadas por The National Science Foundation bajo el proyecto EAR-1338091 a UNAVCO Inc., los proyectos CONACyT 253760 y 256012 y los proyectos UNAM-PAPIIT IN109315-3 y IN104818-3 de E. Cabral-Cano y el proyecto UNAM-PAPIIT IN111509 de R. Pérez. De igual forma agradecemos a los proyectos de infraestructura del CONACyT: 253691 y del PAPIIT-DGAPA: IA107116 para el fortalecimiento de equipos como la estación fija de GPS, que forman parte del LACIGE-UNAM, de la ENES unidad Morelia a cargo de M. Rodríguez-Martínez. El cálculo de TEC se realiza: 1) utilizando el software US-TEC que es un producto de operación del Space Weather Prediction Center (SWPC), desarrollado a través de una colaboración entre National Geodetic Survey, National Oceanic and Atmospheric Administration (NOAA) y el Cooperative Institute for Research in Environmental Sciences of the University of Boulder, Colorado, 2) con base en el software TayAbsTEC del Instituto de Física Solar-Terrestre, Sección Siberiana de la Academia de Ciencias Rusa. Parte del procesamiento de datos se lleva a cabo dentro del Centro de Supercómputo de Clima Espacial (CESCOM) del LANCE. Así mismo agradecemos al Space Weather Forecasting Center for Astrophysics & Space Research de la University of California in San Diego y al Korean Space Weather Center por los datos de pronóstico para los modelos WSA-ENLIL y los mapas tomográficos por IPS. Agradecemos a la red e-callisto por los datos proporcionados de espectros electromagnéticos dinámicos de la red internacional de registro de evento de radio solares.

Datos

Imágenes de coronógrafo, flujo de rayos X y modelo WSA-ENLIL:

<http://www.swpc.noaa.gov/products>

<http://iswa.ccmc.gsfc.nasa.gov/IswaSystemWebApp/>

Imágenes de coronógrafo:

<http://sohowww.nascom.nasa.gov/data/>

Imágenes del disco solar y de la fulguración:

<http://www.solarmonitor.org/>

Detección y caracterización de EMCs:

<http://www.sidc.oma.be/cactus/out/latestCMEs.html>

<http://spaceweather.gmu.edu/seeds/>

ISES:

<http://www.spaceweather.org/>

International Network of Solar Radio Spectrometers (e-callisto):

<http://www.e-callisto.org/>

German Research Center For Geosciences Postdam:

<http://www.gfz-potsdam.de/en/sektion/erdmagnetfeld/daten-dienste/kp-index/>

Data Analysis Center for Geomagnetism and Space Magnetism, Kyoto University:

<http://wdc.kugi.kyoto-u.ac.jp/index.html>

UNAVCO:

<http://www.unavco.org>

SSN:

<http://www.sismologico.unam.mx/>

SOHO Spacecraft NASA:

<http://sohowww.nascom.nasa.gov/>

SDO Spacecraft NASA:

<http://sdo.gsfc.nasa.gov/>

Space Weather Prediction Center NOAA:

<http://www.swpc.noaa.gov>

GOES Spacecraft NOAA:

<http://www.ngdc.noaa.gov/stp/satellite/goes/index.html>

ACE Spacecraft NOAA

<http://www.srl.caltech.edu/ACE/ASC/index.html>